04

Разработка горячей графитовой камеры смешения с затопленной струей для плазмотрона постоянного тока

© М.Х. Гаджиев, Е.П. Пахомов, М.В. Ильичев, В.П. Петровский

Объединенный институт высоких температур РАН, Москва, Россия

E-mail: makhach@mail.ru

Поступило в Редакцию 19 июня 2025 г. В окончательной редакции 17 августа 2025 г. Принято к публикации 18 августа 2025 г.

Создана конструкция горячей графитовой камеры перемешивания потока для плазмотрона постоянного тока, обеспечивающая нагрев графитовой мишени молекулярным газом (азот) до температуры выше 3000 К без возникновения "термомеханической" эрозии за счет создания более однородного стационарного газового потока

Ключевые слова: плазмотрон, графит, однородный поток газа, термомеханическая эрозия.

DOI: 10.61011/PJTF.2025.22.61583.20410

Термическая (дуговая) плазма, генерируемая плазмотроном, представляет собой высокоэффективный инструмент, широко применяемый в разнообразных сферах науки и техники [1]. Одним из ключевых направлений ее использования является моделирование эксплуатационных условий материалов и конструктивных элементов, функционирующих в экстремальных температурных режимах [2–4]. Применение данного метода позволяет детально исследовать физико-химические процессы, протекающие в материалах при высоких температурах, что способствует повышению их эксплуатационных характеристик и надежности.

Для моделирования таких условий с конца 1970-х годов были созданы крупномасштабные плазменные стенды, разработанные на основе источников плазмы постоянного тока или высокочастотной индуктивно связанной плазмы [5,6]. При этом для обеспечения требуемого теплового потока на поверхности образцов необходимо использовать сложные и дорогостоящие установки [7,8].

Цель настоящего исследования, являющегося продолжением работы [4], состоит в создании лабораторного устройства, способного успокоить пульсирующий поток плазмы, генерируемый плазмотроном, для обеспечения нагрева поверхности образцов материалов однородным потоком воздуха до температур до 3000 К и выше.

Плазмотрон постоянного тока с контрагированной дугой, несмотря на его ключевое преимущество, заключающееся в достижении высоких значений удельной энтальпии, обладает существенным недостатком, который выражается в наличии хаотических пульсаций генерируемого плазменного потока как во времени, так и в пространстве. Эти колебания обусловлены динамическим взаимодействием электрического тока дуги с ее собственным магнитным полем, что приводит к значительным флуктуациям плотности теплового потока. В результате наблюдаются пульсации (с частотой в десятки kHz) температуры нагрева поверхности иссле-

дуемого образца, что особенно критично для хрупких материалов, таких как графит.

Флуктуации температуры вызывают пульсации нагрева поверхности графита, что инициирует циклы расширения-сжатия в его зерновой структуре. В хрупком материале с более слабыми межзеренными связями эти циклы приводят к разрушению последних и отрыву отдельных зерен, которые затем уносятся плазменным потоком. Этот процесс представляет собой термомеханический механизм, ответственный за потерю массы поверхностью образца.

В процессе исследования работы плазмотрона постоянного тока на молекулярном азоте с неохлаждаемым графитовым каналом различной конфигурации (с воздействием на поток с помощью твердых стенок, таких как винтовые участки и рассекатели, для минимизации термомеханической эрозии) [4] было установлено, что при температурах выше $2500\,\mathrm{K}$ достижение удельной скорости потери массы изотермически нагреваемых графитовых образцов менее $10^{-5}\,\mathrm{g/(cm^2 \cdot s)}$ представляется практически невозможным. Однако на атомарном газе (аргон) такие значения были достигнуты.

В связи с этим был разработан метод перемешивания плазменного потока без применения дополнительного (кроме цилиндрических стенок канала) воздействия внешних твердых стенок. Данный подход основывается на использовании горячей камеры смешения с затопленной струей. Принцип работы заключается в следующем: плазменный поток, генерируемый плазмотроном, направляется в закрытую графитовую полость с одним или несколькими боковыми выходами в верхней части (рис. 1). Такое радикальное изменение направления потока обеспечивает его эффективное перемешивание. Экспериментальные данные подтвердили высокую эффективность данного метода: во всех проведенных опытах с использованием такой горячей камеры смешения полностью прекратился вылет светящихся микрочастиц

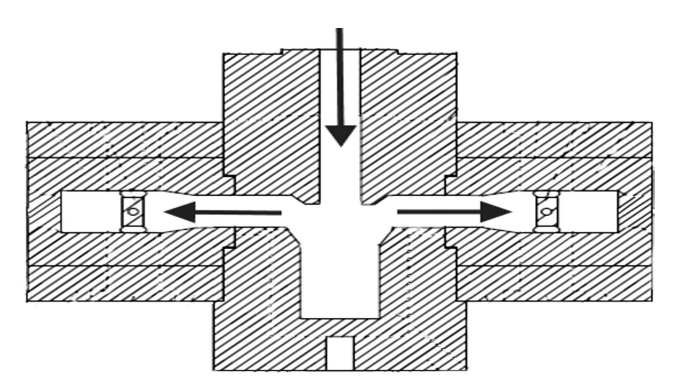


Рис. 1. Принципиальная схема камеры смешения с затопленной струей с двумя выходными каналами для обдува установленных образцов.

графита, являющихся результатом термомеханического разрушения поверхности под воздействием хаотических термоударов (рис. 2).

В качестве источника плазмы использовался трехэлектродный (катод со вставкой из лантанированного вольфрама—межэлектродная вставка—анод) генератор низкотемпературной плазмы постоянного тока с вихревой подачей газа и диаметром газоразрядного канала 8 mm с КПД $\sim 80\,\%$ для азота, обеспечивающий формирование на выходе плазменного потока диаметром $D=8-10\,\mathrm{mm}$ с энтальпией до $50\,\mathrm{kJ/g}$ и среднемассовой температурой $10-11\,\mathrm{kK}$, при полной электрической мощности дугового разряда до $50\,\mathrm{kW}$ и расходе плазмообразующего газа $1-3\,\mathrm{g/s}$ [9].

В качестве основных контролируемых параметров были выбраны: а) истинная температура нагреваемых практически изотермически графитовых образцов марки МПГ-6 (Ø $8 \times 4\,\mathrm{mm}$) с моделью черного тела в них — глухим сверлением (Ø $2 \times 6\,\mathrm{mm}$), устанавливаемых в выходных каналах перпендикулярно потоку, как показано на рис. 1; b) их потеря массы. Измерение температуры выполнялось с помощью яркостного пирометра Raytek 1M, работающего на

длине волны $1\,\mu\mathrm{m}$ (размер поля визирования $0.6\,\mathrm{mm}$, погрешность $0.3\,\%$ от измеряемой величины $+1\,\mathrm{K}$), через отверстие Ø $2.5\,\mathrm{mm}$ в боковой стенке канала. Максимальная измеряемая пирометром температура $3300\,\mathrm{K}$. Масса образца и всех остальных элементов горячего тракта измерялась до и после каждого опыта. Видеосъемка потока плазмы из камеры смешения производилась с помощью скоростной видеокамеры MotionPro.

Скоростная видеосъемка струи, истекающей из камеры смешения с затопленной струей, показала (рис. 3), что на ее выходе действительно формируется стабильный поток, судя по видеосъемке, с близким к прямоугольному радиальным профилем температуры. Светящиеся треки — частицы оксида железа от окисляющегося стального фланца крепления.

Такое решение позволяет пристыковывать к камере смешения не один, а несколько экспериментальных каналов с исследуемыми образцами, что существенно увеличивает производительность и надежность исследований. На рис. 1 и 2 представлена конструкция с двумя идентичными каналами.

На рис. 2, c показано состояние такой сборки во время испытания. Видно, что камера смешения сильно разогревается (по цвету свечения заведомо выше $1500 \, \mathrm{K}$ на внешней поверхности при токе дуги $300 \, \mathrm{A}$, отмечено плавление стальных элементов от излучения стенок), поэтому необходимо хорошо экранировать (теплоизолировать) все окружающие сборку металлические детали.

При этом удельная скорость окисления внешней поверхности из-за ее обдува потоком воздуха в результате естественной конвекции не превышала $2\cdot 10^{-3}~{\rm g/(cm^2\cdot s)}$ (0.6 mm/min). Удельная скорость потери массы поверхностями элементов горячего тракта и испытываемых образцов при температуре образцов до 2700 K была меньше $10^{-5}~{\rm g/(cm^2\cdot s)}$.

При увеличении тока дуги более $\sim 300\,\mathrm{A}$ (диаметр канала плазмотрона 8 mm) внутренняя поверхность камеры смешения разогревается, видимо, выше температуры сублимации графита, в результате чего рез-

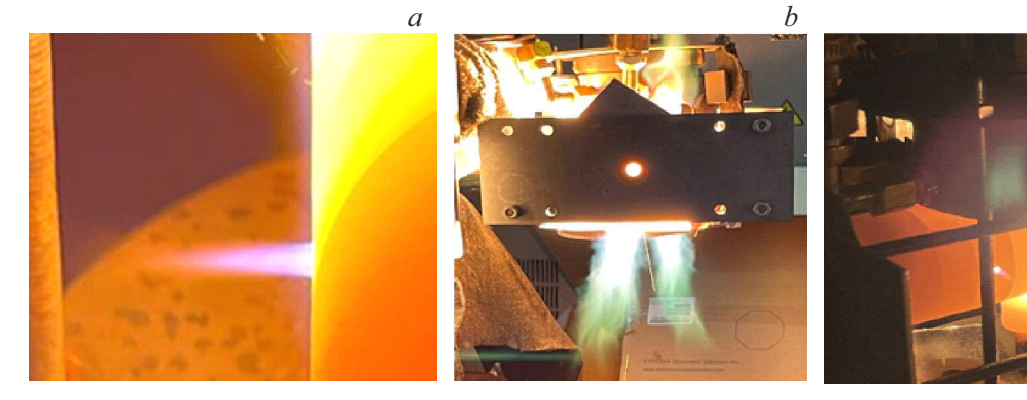


Рис. 2. Вид струи азота из наружного оптического отверстия диаметром 4 mm при токе дуги $250 \,\mathrm{A}\;(a)$ и из выходных отверстий сборки (b), а также общий вид во время работы (c).

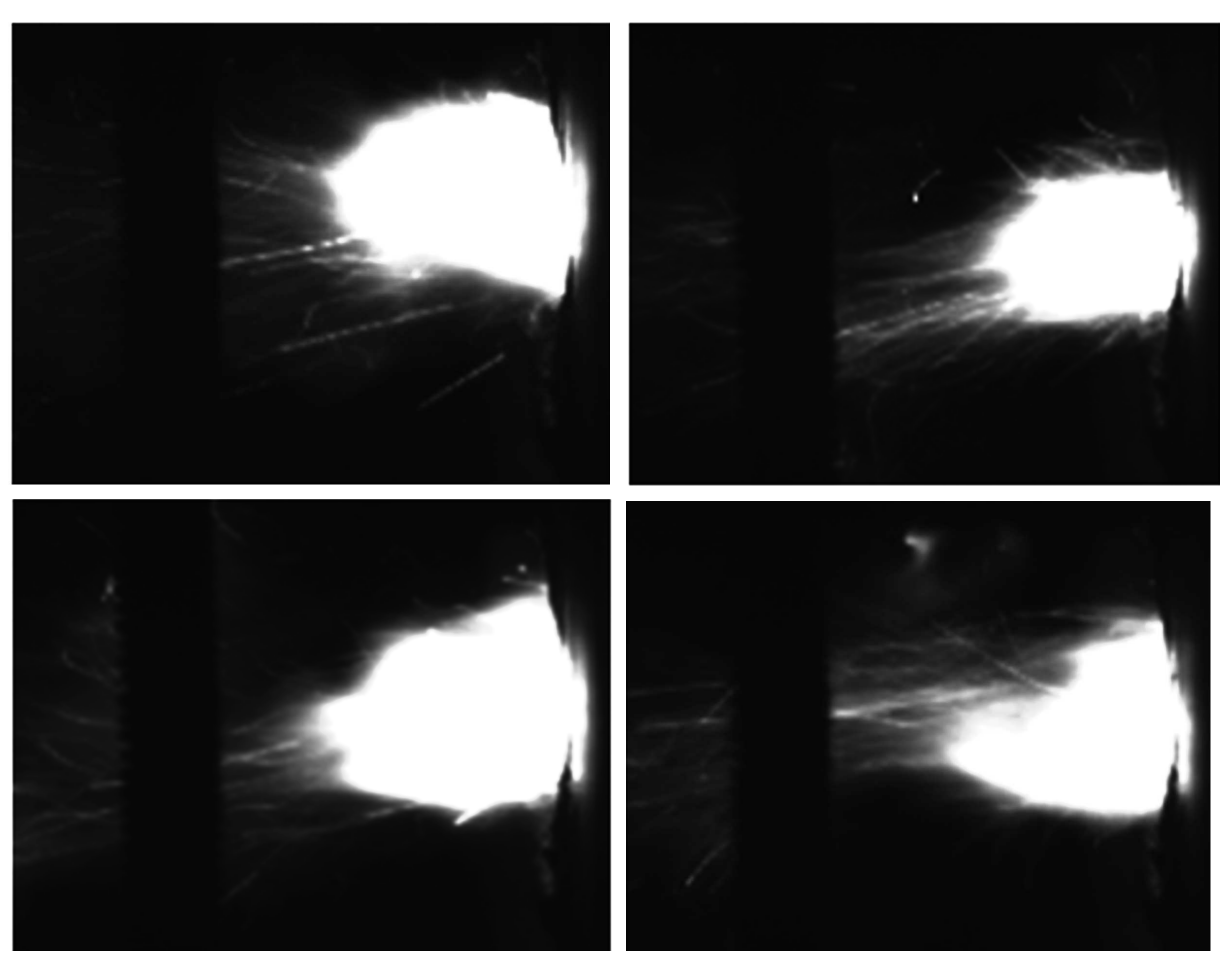


Рис. 3. Последовательные кадры видеосъемки с частотой $1000\,\mathrm{Hz}$ струи плазмы азота, истекающей из камеры смешения с затопленной струей при токе дуги $300\,\mathrm{A}$ и экспозиции $100\,\mu\mathrm{s}$.

ко растут ее потери массы. При этом на прочих элементах горячего тракта и на исследуемых образцах фиксируется уже не потеря массы, а ее увеличение (из-за осаждения сажи, часто в виде шариков).

Как и ранее, не было зафиксировано случаев разрушения хорошо секционированных элементов сборки из-за термонапряжений.

Таким образом, предложено конструктивное решение, обеспечивающее эффективное подавление пространственных и временных пульсаций температуры в генерируемом плазмотроном потоке плазмы и тем самым обеспечивающее исключение воздействия механизма термомеханической эрозии на поведение поверхности нагреваемых образцов графита.

Конфликт интересов

Авторы заявляют, что у них нет конфликта интересов.

Список литературы

- [1] M.I. Boulos, P.L. Fauchais, E. Pfender, *Handbook of thermal plasmas* (Springer, Cham, 2023).
- [2] А.Ф. Колесников, С.А. Васильевский, С.Л. Щелоков, А.В. Чаплыгин, С.С. Галкин, Изв. РАН. Механика жидкости и газа, № 6, 116 (2022). DOI: 10.31857/S0568528122600503 [A.F. Kolesnikov, S.A. Vasil'evskii, S.L. Shchelokov, A.V. Chaplygin, S.S. Galkin, Fluid Dyn., 57 (6), 811 (2022). DOI: 10.1134/S0015462822601309].
- [3] Д.С. Михатулин, Ю.В. Полежаев, Д.Л. Ревизников, Тепломассообмен, термохимическое и термоэрозионное разрушение тепловой защиты (Янус-К, М., 2011).
- [4] М.Х. Гаджиев, Е.П. Пахомов, В.П. Петровский, Д.И. Юсупов, Письма в ЖТФ, **50** (8), 15 (2024). DOI: 10.61011/PJTF.2024.08.57514.19753 [M.Kh. Gadzhiev, E.P. Pakhomov, V.P. Petrovskiy, D.I. Yusupov, Tech. Phys. Lett., **50** (4), 55 (2024). DOI: 10.61011/PJTF.2024.08.57514.19753].
- [5] M. Auweter-Kurtz, *Overview of IRS plasma wind tunnel facilities*, paper presented at the RTO AVT Course on "Measurement's techniques for high enthalpy and plasma flows" (Rhode-Saint-Genése, Belgium, 1999); published in RTO EN-8 (2000), p. 2A1–2A20.

- [6] M. Hinada, Y. Inatani, T. Yamada, K. Hiraki, An arc heated high enthalpy test facility for thermal protection studies, report N 664 (Institute of Space and Astronautical Science, 1996).
- [7] S. Loehle, F. Zander, T. Hermann, M. Eberhart, A. Meindl, R. Oefele, J. Vaubaillon, F. Colas, P. Vernazza, A. Drouard, J. Gattacceca, Astrophys. J., 837, 112 (2017). DOI: 10.3847/1538-4357/aa5cb5
- [8] G. Herdrich, M. Auweter-Kurtz, H. Böhrk, M. Fertig, S. Löhle, *Test facilities for high enthalpy planetary entry simulation*, special publication (European Space Agency, 2006), ESA SP-631, id 50.
- [9] Э.Х. Исакаев, О.А. Синкевич, А.С. Тюфтяев, В.Ф. Чиннов, ТВТ, **48** (1), 105 (2010). [Е.Кh. Isakaev, О.А. Sinkevich, A.S. Tyuftyaev, V.F. Chinnov, High Temp., **48** (1), 97 (2010). DOI: 10.1134/S0018151X10010141].